

# Ćwiczenia 5

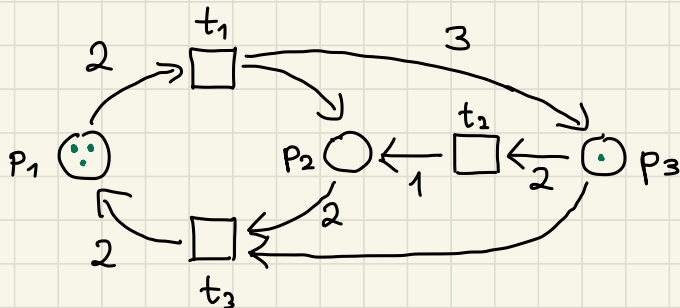
6.11

- Modele równoważne: sieci Petriego, VAS, VASS i automaty licznikowe bez testów D.



sieć Petriego  $\rightarrow$  VAS

\* zakładamy, że nie ma cięzych pętli



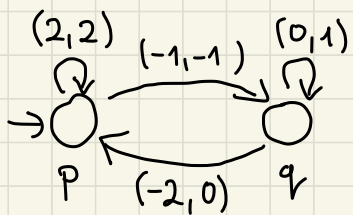
\* symulacja VASEm:

- wektor początkowy  $u = (3, 0, 1)$  (początkowa konfiguracja)
- zbiór wektorów  $V = \{t_1, t_2, t_3\}$ , gdzie  
 $t_1 = (-2, 1, 3)$ ,  $t_2 = (0, 1, -2)$ ,  $t_3 = (2, -2, 1)$

$VAS \rightsquigarrow VASS$

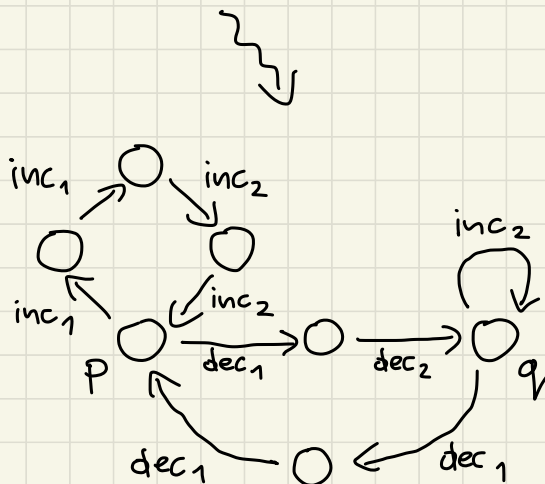
- \* dany  $VAS: (u, V)$
- \* definiujemy  $VASS$  tak, żeby mieć jeden stan  $q_f$  i dajemy mu przejścia  $(q_f, v, q_f)$  dla każdego  $v \in V$
- \* czy  $w$  osiągalne  $\rightsquigarrow$  czy  $(q_f, w)$  osiągalne z  $u$ ? czy  $(q_f, w)$  osiągalne z  $(q_f, u)$ ?

$VASS \rightsquigarrow$  automat licznikowy bez testów 0



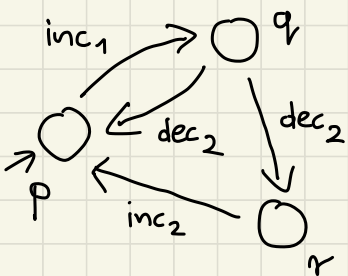
$q_f, (1, 2)$  osiągalne z  $p, (0, 0)$

$q_f, (0, 0)$  nieosiągalne z  $p, (0, 0)$

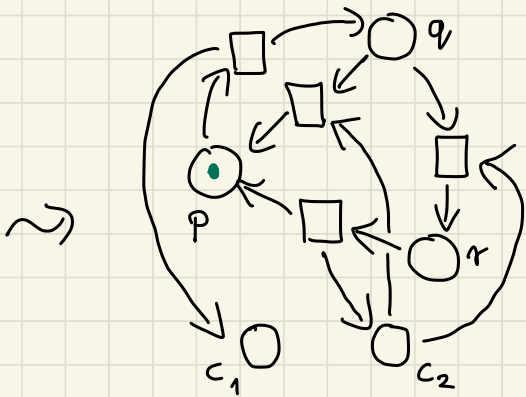


automat licznikowy bez testów  $0 \rightsquigarrow$  sieć Petriego

- \* definiujemy po jednym miejscu dla każdego stanu automatu i po jednym dla liczników
- \* transycja (w sieci Petriego) reprezentująca przejście  $(p_i, inc_i, q_j)$  bierze jeden żeton z  $p_i$  i kładzie po jednym żetonie na  $q_j$  i miejscu  $c_i$  reprezentującym licznik  $i$



automat licznikowy



odpowiadająca sieć Petriego

- \* gdy automat jest w stanie  $p$  i istnieje krawędź  $t = (p, dec_i, q_j)$ , a obecnie  $c_i = 0$ , to  $t$  jest nieaktywne (nie można go użyć)
- \* istnieje rodzaj sieci Petriego pozwalający na testy na zero - dodajemy krawędzie „inhibitor arcs”

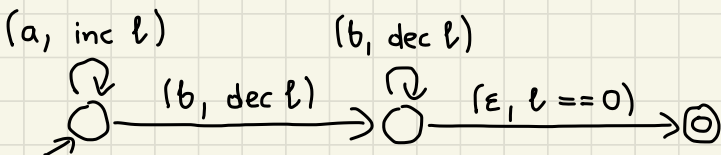
Pytanie: Co dają nam testy na 0 w automacie?

Czy można za ich pomocą rozpoznać coś więcej niż języki regularne?

\* tak, można na przykład rozpoznać język

$$\{a^n b^n \mid n \in \mathbb{N}\}$$

\* tworzymy dla niego automat z jednym licznikiem & zainicjowanym na zero oraz trzema stanami:



\* etykieta  $l == 0$  oznacza sprawdzenie, czy licznik

$l$  ma wartość zero i umożliwia przejście tylko, jeśli odpowiedź to "tak"

\* sprawdzimy teraz, jaką dokładnie moc mają automaty z testami na 0



2. Pokaż, jak zasymulować taśmę maszyny Turinga przy użyciu automatu licznikowego z testami na 0?

### Pomysł 1

- \* BSO założymy, że mamy tylko jedynki i zera na taśmie (możemy zakładawać dowolny alfabet za pomocą dwuliterowego alfabetu)
- \* Najpierw symulujemy binarny stos przy użyciu automatu z dwoma licznikami i testami na 0
- \* interpretujemy taśmę maszyny jako dwa stosy i symulujemy ją przy użyciu automatu z czterema licznikami

### Pomysł 2

- \* można użyć jednego licznika na zawartość taśmy, drugiego na pozycję głowicy i pomocniczych liczników do wykonywanie operacji na taśmie przy tym podejściu analiza może być bardziej skomplikowana

## Dokładniejszy zarys pierwszego pomysłu

- \* stos reprezentujemy jako liczbę binarną - na góre stosu trzymamy najmniej znaczący bit
- \* jak wrzucić 0 albo 1 na góre stosu?
  - wrzucenie 0 to mnożenie przez 2
  - wrzucenie 1 to pomnożenie przez 2 i dodanie 1
- \* jak mnożyć wartość licznika, jeśli mamy do dyspozycji tylko dodawanie i odejmowanie?
- \* poza podstawowym licznikiem  $l$  mamy jeszcze pomocniczy licznik  $l_p$  i wykonujemy program

def double( $l$ ):

    while  $l \neq 0$

        dec  $l$

        inc  $l_p$

        inc  $l_p$

        swap ( $l, l_p$ )

definija:

    while  $l_p \neq 0$ :

        dec  $l_p$

        inc  $l$

- \* Stąd wrazaniu 0 albo 1 odpowiada kod

def push<sub>0</sub>(l):

double(l)

def push<sub>1</sub>(l):

double(l)

inc l

- \* operacji pop odpowiada z kolei kod

def pop(l):

while l ≠ 0:

dec l

if l == 0, return 1

dec l

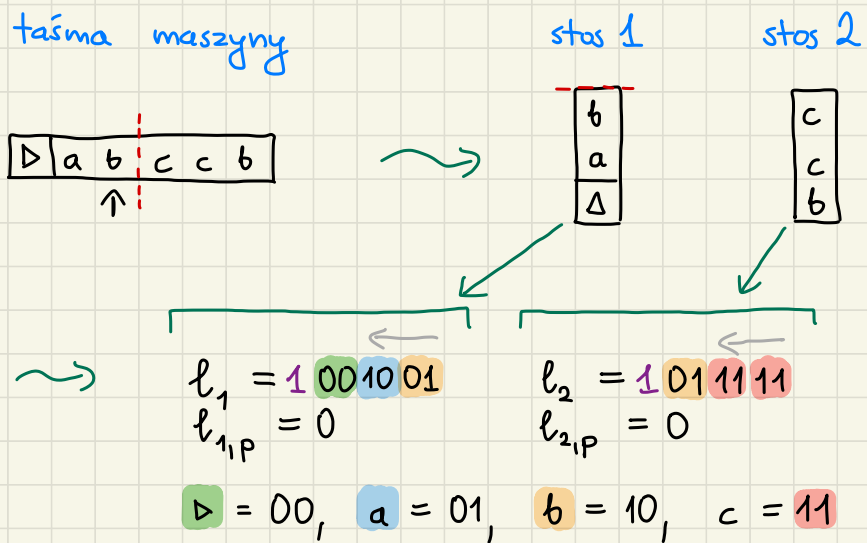
if l == 0, return 0

inc l<sub>p</sub>

swap(l, l<sub>p</sub>)

- \* haczyk: jak sprawdzić, czy symulowany stos jest pusty? Skąd mamy wiedzieć, czy na stosie jest 0, czy nie ma nic?

- \* rozwiązywanie: używamy 1, żeby reprezentować pusty stos (to znaczy: teraz licznik 1001 będzie oznaczał, że na stosie jest 001)
- \* dwa liczniki pozwalają, symulować jeden stos, czyli cztery wystarczą nam do symulacji taśmy maszyny Turinga:



- \* głowica wskazuje na szczyt pierwszego stosu
- \* szczegółowy opis jest tutaj:

<https://www.cs.usfca.edu/~galles/cs411/lecture/lecture14.pdf>

3. Zaproponuj transformację  $n$ -wymiarowego VASSu do równoważnego  $(n+s)$ -wymiarowego VASu.

Jak mate może być  $s$ ?

VASS: graf  $(Q, T)$ , konfiguracja  $(p, u)$

Podejście 1 - 1 dodatkowy wymiar

- \* każdemu stanowi z  $Q$  przypisujemy inną etykietę ze zbiorem  $K = \{1, 2, \dots, |Q|\}$  (funkcja  $\ell: Q \rightarrow K$ )
- \* konfigurację  $(p, u)$  VASSu reprezentujemy w tworzonym VASie jako  $(\ell(p), u) =: c_{p,u}$
- \* następuje to tłumaczenie transycji w następujący sposób:  $(p, v, q) \rightsquigarrow (\ell(q) - \ell(p), v) =: m_{p,v,q}$
- \* problem:  $m_{p,v,q}$  można dodać do każdego  $c_{r,u}$  dla  $r$  spełniającego  $\ell(r) \geq \ell(p)$ , czyli są przejścia niewystępujące w VASSie  $\downarrow$
- \* trzeba poszukać takiego kodowania stanów, które pozwoli poprawnie zdefiniować transycje

Podejście 2 -  $|Q| := k$  dodatkowych wymiarów

- \* nowy wymiar dla każdego stanu  $z \in Q$
- \* wymiar reprezentujący  $q \in Q$  zawiera 1 wtedy opisywana konfiguracja VASSu jest w stanie  $q$ , i wpp zawiera 0
- \* formalnie dostajemy transformacje

$$\text{konfiguracja } (p, u) \xrightarrow{\text{VASS}} (0, 0, \dots, 0, \underset{\uparrow_p}{1}, 0, \dots, 0, u)$$

$$\text{transycja } (p, v, q) \xrightarrow{\text{VAS}} (0, \dots, 0, \underset{\uparrow_q}{1}, 0, \dots, 0, \underset{\uparrow_p}{-1}, 0, \dots, 0, v)$$

- \* wektor reprezentujący  $(p, v, q)$  można dodać tylko do wektora odpowiadającego konfiguracji  $(p, -)$ , więc kodujemy tylko i wyłącznie biegi w VASSie
- \* problem: rozmiar  $Q$  może znacznie przekraczać wymiar wektora  $u$  - chcemy znaleźć bardziej oszczędną transformację

### Podejście 3 - 4 dodatkowe wymiany

pomyśl: na dwóch z nowych miejsc kodujemy obecny stan, a pozostałe dwa używamy przy kodowaniu tranzyty (aby umożliwić wpisanie stanu, do którego przedodziemy)

- \* jak zakodować stan na dwóch miejscach, aby uzyskać Tatuwe kodowanie tranzyty?
- \* szkic modelu:
  - $(p, u) \rightsquigarrow (\underline{a(p), b(p)}, \underline{0, 0}, u)$   $\stackrel{\text{kodowanie } p \text{ na dwóch miejscach}}{=} c_{p,u}$
  - $(p, v, q) \rightsquigarrow (\underline{-a(p), -b(p)}, \underline{a(q), b(q)}, v)$   $\stackrel{\text{wpisanie kodowania stanu } q}{=} m_{p,v,q}$
- \* chcemy, żeby fragment  $-a(p), -b(p)$  uniemożliwił dodanie  $m_{p,v,q}$  do  $c_{r,u}$  dla każdego  $r \neq p$  (innymi słowy dla stanu  $r \neq p$  ma zachodzić  $a(r) - a(p) < 0$  lub  $b(r) - b(p) < 0$ )  
 $k := 121$
- \* rozwiązywanie: niech  $a(p) = l(p)$ ,  $b(p) = k + 1 - l(p)$
- \* dla  $r \neq p$  mamy  $a(r) < a(p)$ , jeśli  $l(r) < l(p)$  oraz  $b(r) < b(p)$ , gdy  $l(r) > l(p)$

przykład:	stan p	$\ell(p)$	$a(p)$	$b(p)$
$p_1$	1	1	5	
$p_2$	2	2	4	
$p_3$	3	3	3	
$p_4$	4	4	2	
$p_5$	5	5	1	

$m_{p_1, v_1, p_3}$  zaczyna się od  $-2, -4$ , które można dodać tylko do  $m_{p_2, \dots}$  bez „spadania poniżej zera”

- \* przy obecnym zapisie po dodaniu  $m_{p_1, v_1, q}$  do wektora  $c_{p_1, u}$  kodowanie stanu  $q$  znajdzie się na 3. i 4. pozycji, więc formalnie trzeba zaznaczyć, że każdy stan ma też reprezentację

$$c'_{p_1, u} = (0, 0, a(p), b(p), u),$$

a każda transzycja musi jeszcze mieć drugie możliwe kodowanie (aby umożliwić aplikację do  $c' \dots$ )

$$m'_{p_1, v, q} = (a(q), b(q), -a(p), -b(p), v)$$

- \* podana transformacja generuje  $|T|$  wektorów przejścia ( $m_{p,v,q}$  i  $m'_{p,v,q}$ ) - czy da się lepiej?
- \* tak, można zachować kodowanie stanu na pierwszych dwóch miejscach i dla każdej transzycji  $\in T$  generować tylko jeden wektor przejścia
- \* koszt:  $|Q| + |T|$ , kodowanie:

$$(p, u) \rightarrow (a(p), b(p), 0, 0, u)$$

↓

*pomocnicze  
przejście*

$$(-a(p), -b(p), a(p), b(p), 0)$$

↓

*pomocnicza  
konfiguracja*

$$(0, 0, a(p), b(p), u)$$

↓

$$(p, v, q) \rightarrow (a(q), b(q), -a(p), -b(p), v)$$

↓

$$(q, u+v) \rightarrow (a(q), b(q), 0, 0, u+v)$$

- \* czy da się zejść do trzech dodatkowych wymiarów? jeśli tak, w jaki sposób?

## Podejście 4 - 3 dodatkowe wymiany

- \* podobnie jak w poprzednim podejściu zacznijmy od sposobu, który nie jest optymalny, ale w tym przypadku jest zdecydowanie prostszy do analizy
- \* każdej konfiguracji  $(p, u)$  VASSu będą odpowiadają trzy możliwe konfiguracje tworzonego VASu:

$$c_{p,u} = (a(p), b(p), 0, u),$$

$$c'_{p,u} = (0, a(p), b(p), u),$$

$$c''_{p,u} = (b(p), 0, a(p), u)$$

dla pewnych nowych funkcji  $a$  i  $b$

- \* każdej transycji będącej kolej odpowiadają trzy wektory przejścia, np. na zaaplikowanie  $(p, v, q)$  do  $c_{p,u}$  będzie pozwalał wektor

$$m_{p,v,q} = (-a(p), -b(p) + a(q), b(q), v),$$

co sprawdza przejście z reprezentacji  $c_{-, -}$  do  $c'_{-, -}$

- \* podobnie z  $c'_{-, -}$  będziemy przechodzić do  $c''_{-, -}$ , a następnie do  $c_{-, -}$  (tak definiujemy  $m'_{p,v,q}$  i  $m''_{p,v,q}$ )

- \* przyjmijmy  $a(p) = l(p)$ , szukamy dobrego kandydata na  $b(p)$
- \* musimy zapewnić, że wektor  $m_{p,v,q} = (-a(p), -b(p)+a(q), b(q), v)$  nie będzie dodany do konfiguracji  $c_{r,u} = (a(r), b(r), 0, u)$  dla  $r \neq p$
- \* w wyniku dostaliśmy  $(a(r)-a(p), b(r)-b(p)+a(q), b(q), u+v)$
- \* dla  $l(r) < l(p)$  pierwsza współrzędna będzie  $< 0$
- \* dla  $l(r) > l(p)$  chcemy, żeby na drugim miejscu pojawiła się wartość ujemna, czyli
 
$$b(r)-b(p) < -a(q),$$

$$b(p)-b(r) > a(q)$$
- \* wystarczy  $b(p)-b(r) > k$ , zatem możemy przyjąć  $b(p) = (k+1)(k+1-l(p))$
- \* jako formalność pozostało sprawdzić resztę przejść

- \* podana transformacja generuje  $3|T|$  wektorów przejścia - podobnie jak poprzednio, można poprawić złożoność do  $|T| + 2|Q|$
- \* tym razem generujemy przejścia następująco:

$$\begin{array}{l}
 (\rho, u) \sim (a(\rho), b(\rho), 0, u) \\
 \text{pomocnicze} \\
 \text{przejścia} \\
 \downarrow \\
 \text{pomocnicza} \\
 \text{konfiguracja} \\
 (\rho, u) \sim (b(\rho), 0, a(\rho), u) =: c_{\rho, u} \\
 \downarrow \\
 (\rho, v, q) \sim (a(q) - b(\rho), b(q), -a(\rho), v) =: m_{\rho, v, q} \\
 \downarrow \\
 (q, u+v) \sim (a(q), b(q), 0, u+v)
 \end{array}$$

będzie omówione  
 później

- \* musimy zagwarantować, że  $m_{\rho, v, q}$  nie będzie dodane do konfiguracji innej niż  $c_{\rho, u}$
- \* proste rachunki pokazują, że wystarczy przyjąć  
 $a(\rho) = l(\rho)$  (co będzie blokowało dodawanie dla  $l(r) < l(\rho)$ ) oraz  $b(\rho) = (k+1)(k+1 - l(\rho))$   
 (blokujące  $l(r) > l(\rho)$ )

PoTHE rozwiązańie:

**Lemma 2.1.** *An  $n$ -dim VASS can be simulated by an  $(n+3)$ -dim VAS.*

**Proof.** We give the construction of the VAS. The last three coordinates encode the state while the first  $n$  coordinates are as in the VASS. Assume that the VASS has  $k$  states  $q_1, \dots, q_k$ . Let  $a_i = i$  and  $b_i = (k+1)(k+1-i)$  for  $i = 1$  to  $k$ . If the VASS is at  $v$  in state  $q_i$  then the VAS will be at  $(v, a_i, b_i, 0)$ . For each  $i$  the VAS has two dummy transitions  $t_i$  and  $t'_i$  defined so that  $t_i$  goes from  $(v, a_i, b_i, 0)$  to  $(v, 0, a_{k-i+1}, b_{k-i+1})$  and  $t'_i$  goes from  $(v, 0, a_{k-i+1}, b_{k-i+1})$  to  $(v, b_i, 0, a_i)$ . Note that  $t_i$  and  $t'_i$  modify only the last three components. In addition there is a transition  $t''_i$  for each transition  $i \rightarrow (j, w)$  of the VASS, defined by

$$t''_i = (w, a_i - b_i, b_j, -a_i).$$

Clearly any path of the VASS can be mimicked by the VAS. It remains to be shown that the VAS cannot do something unintended. We will only show that  $t''_i$  can only be applied if the last three components are  $b_i, 0$  and  $a_i$ , respectively. The other cases are similar. Observe that for each  $i$  and  $j$ ,  $a_i < a_{i+1}$ ,  $b_i > b_{i+1}$ ,  $a_i < b_j$  and  $b_i - b_{i+1} = k+1 > a_j$ . Let  $v''_i$  be the vector  $(w, a_i - b_i, b_j, -a_i)$  which accomplishes the transition  $t''_i$ . Note that the  $n+1$ st and last components are negative. Hence  $t''_i$  cannot be applied when the last three coordinates are  $(a_i, b_i, 0)$  or  $(0, a_{k-i+1}, b_{k-i+1})$  since either the first or third components are 0. Let the last three coordinates be  $(b_m, 0, a_m)$ . Then if  $m < i$ ,  $t''_i$  cannot be applied since  $a_m - a_i < 0$ . If  $m > i$ , then  $t''_i$  cannot be applied since  $b_m + a_i - b_i \leq a_i - (k+1) < 0$ .  $\square$

Zmów: John Hopcroft, Jean-Jacques Pansiot.

On the reachability problem for 5-dimensional  
vector addition systems

\* można pomyśleć nad tym, jakie problemy pojawiają się przy użyciu tylko 2 dodatkowych wymiarów

4. For every  $m > 0$  create a Petri net of size  $O(n+m)$  that is bounded by  $F_m(n)$  and not bounded by any smaller number, where

$$i) F_1(n) = 2n$$

$$ii) F_{m+1}(n) = F_m^n(1) = \underbrace{F_m(F_m(\dots(F_m(1))\dots))}_{n \text{ times}}$$

- \* we can construct a VASS instead of a Petri net (since the two models are equivalent and we defined how to simulate one with another solving the first problem; however, here it will be easier to create a Petri net based on the VASS itself)

- \* for a given  $n$ -dimensional VASS  $(\mathcal{Q}, T)$  with initial configuration  $(p, u)$  we define its size as

$$|\mathcal{Q}| + |T| + \sum_{i=1}^n u(i) + \sum_{t \in T} \sum_{i=1}^n |t(i)|$$

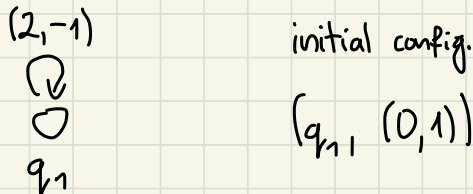
- \* how does a closed-form expression for  $F_m(n)$  look like?

$$F_2(n) = F_1(F_1(\dots(F_1(1))\dots)) = 2^n$$

$$F_3(n) = F_2(F_2(\dots(F_2(1))\dots)) = 2^{2^{2^{\dots^2}}} \quad \downarrow n$$

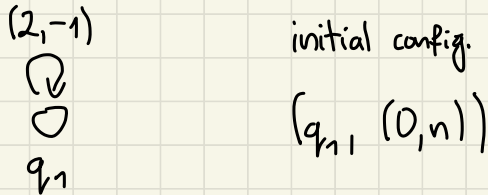
and so on

- \* first, compute  $F_1(1)$



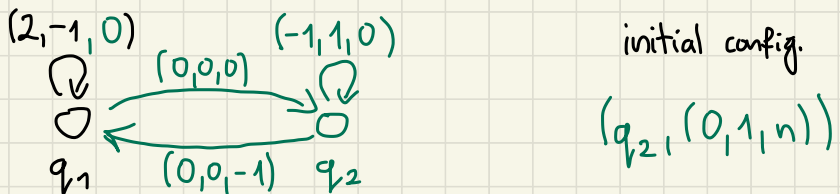
interpretation: first coordinate stores the result of the current computation, second coordinate is the argument to  $F_1$

thus, for  $F_1(n)$  we have



- \* now, we can build a VASS for  $F_2(n)$  using the construction above

\* VASS for  $F_2(n) = F_1(F_1(\dots(F_1(1))\dots))$

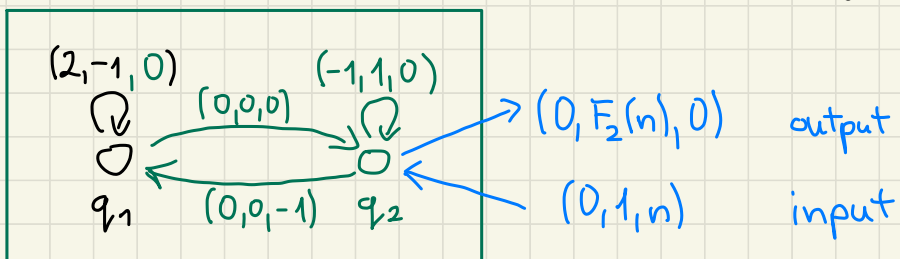


interpretation: two first coordinates serve the same purpose as previously, the third one can be interpreted as the argument for  $F_2$  – the number of times we have to compose  $F_1$  with itself

the initial configuration says that we apply the  $n$ -th composition of  $F_1$  to 1

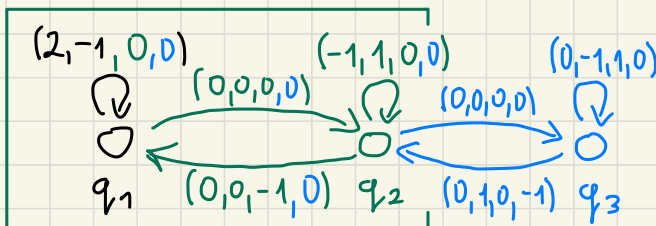
loop in state  $q_2$  updates the parameter for  $F_1$  to the current computation result

when we reach deadlock, the second coordinate stores the final result, hence, we can interpret the construction above as a blackbox computing  $F_2(n)$



we can use this observation to construct a VASS computing  $F_3(n)$

- \* "induction" step - VASS for  $F_3(n)$



initial configuration:  $(q_3, (0, 0, 1, n))$

it says that we have to apply the  $n$ -th composition of  $F_2$  to 1

first we go from  $q_3$  to  $q_2$ : we subtract 1 from the fourth coordinate, which can be interpreted as the start of computation of the most inner call of  $F_2$  in  $F_3(n) = F_2(F_2(\dots(F_2(1)).\dots))$

moreover, we add 1 to the second coordinate to obtain 0, 1, 1 as the prefix of the current configuration — this starts the computation of  $F_2(1)$  in the green box

the computation ends in state  $q_2$  with configuration prefix equal to  $0, F_2(1), 0$

next, we go through  $q_3$  and approach green box again with a new request — to compute  $F_2$  with the argument  $F_2(1)$  (as the conf. prefix is  $0, 1, F_2(1)$ ) ...

- \* it is easy to see how to continue the construction for  $F_4(n), F_5(n), \dots$

5. Prove that in the pessimistic case the maximum size of the coverability tree is not smaller than  $\text{Ack}(n)$ , where  $n$  is the size of the net.

- \* we can assume  $\text{Ack}(n) \approx F_n(n)$

- \* formally:

$$\text{Ack}(m, n) = \begin{cases} n+1 & m=0 \\ \text{Ack}(m-1, 1) & m>0, n=0 \\ \text{Ack}(m-1, \text{Ack}(m, n-1)) & m>0, n>0 \end{cases}$$

$m \setminus n$	0	1	2	3	4	$n$
0	1	2	3	4	5	$n+1$
1	2	3	4	5	6	$n+2 = 2 + (n+3) - 3$
2	3	5	7	9	11	$2n+3 = 2 \cdot (n+3) - 3$
3	5	13	29	61	125	$2^{(n+3)} - 3$
4	$13 = 2^{2^2} - 3$	$65533 = 2^{2^{2^2}} - 3$	$2^{65536} - 3 = 2^{2^{2^{2^2}}} - 3$	$2^{2^{65536}} - 3 = 2^{2^{2^{2^{2^2}}}} - 3$	$2^{2^{2^{65536}}} - 3 = 2^{2^{2^{2^{2^{2^2}}}}} - 3$	$\underbrace{2^{2^{\dots^2}}} - 3 = n+3$

- \* thus the proof follows the construction presented for the previous problem

6. Improve Lipton's construction presented during the lecture to avoid the exponential blowup of the instruction number.

- \* Consider  $\text{Dec}_{m+1}(x)$  and think about how to improve it (during tutorials), then analyze the whole construction once again (homework)

$\text{Dec}_{m+1}(x)$ :

loop

$a_m++, \hat{a}_m--$

loop

$b_m++, \hat{b}_m--$

$x--, \hat{x}++$

$\text{Dec}_m(b_m)$

$\text{Dec}_m(a_m)$



we would like to have one universal  $\text{Dec}_i$  for all possible calls



if there is one gadget for  $\text{Dec}_i$ , how does it know what to increase?



how does it know where to return?

reverse the side-effect on  $a_m, b_m$  and ensure that

this part is repeated

$$2^{2^m} \cdot 2^{2^m} = 2^{2^{m+1}} \text{ times}$$

$\text{Dec}_{m+1}(x)$ :

loop

$a_m ++, \hat{a}_m --$

loop

$b_m ++, \hat{b}_m --$

$x --, \hat{x} ++$

$\text{Dec}_m(b_m)$

$\text{Dec}_m(a_m)$

new variables with dashes  
representing the flags /  
semaphores for previously  
defined variables

$\bar{x} --$

$x --, \hat{x} ++$

$\bar{x} ++$

or

$\bar{y} --$

$y --, \hat{y} ++$

$\bar{y} ++$

or

...

← used only  
when  $\bar{x} = 1$

← used only  
when  $\bar{y} = 1$

$c_i ++, \bar{b}_m ++, \text{Dec}_m(b_m), \bar{b}_m --, c_i --$



$c_i ++$  can be interpreted as  
a call statement and  $\bar{b}_m ++$  as  
a parameter for the called  
function (it informs that  
some action have to be  
performed on  $b_m$ )

$c_i --$  asserts that  
the execution goes  
back to the right  
place

\* it remains to work on the details

\* we update the other functions in a similar way